

621.771.22: 539.377: 536.5: 621.771.07

## (231) 分塊ロールの熱応力計算

## 分塊ロールの折損に関する研究 (3)

新日本製鉄 生産技術

○宇末 利称

製品技術

鈴木 克巳

## 1. 緒言

分塊ロールの実際のパススケジュールを、忠実にシミュレートした温度分布および熱応力分布を求めるため、特定のモデルを設定し計算式を導き、コンピュータープログラムを作成した。さらにこれを用い、基本的圧延スケジュール下における、温度・熱応力分布を計算した。

## 2. 計算方法

温度のシミュレーションは、(1) ロール表層部の短周期現象、(2) ロール内部の長周期現象の2つに分けて行なった。

2.1 ロール表層部の温度分布 式(1), (2) の1次元直角座標系熱伝導方程式を、(3), (4)の境界条件のもとで解いた。ロール、インゴットの区間分割は、図1の如くした。

$$\text{ロール表層部 } \frac{\partial \theta_R}{\partial t} = \alpha_R \frac{\partial^2 \theta_R}{\partial r^2} \quad \dots \dots \dots (1) \quad \text{インゴット表層部 } \frac{\partial \theta_I}{\partial t} = \alpha_I \frac{\partial^2 \theta_I}{\partial r^2} \quad \dots \dots \dots (2)$$

$$\text{境界条件 ロールとインゴットの接触時 } k_R \frac{\partial \theta_R}{\partial r} = k_I \frac{\partial \theta_I}{\partial r} \Big|_{r=0} \quad \dots \dots \dots (3)$$

$$\text{ロールとインゴットの非接触時 } k_R \frac{\partial \theta_R}{\partial r} = h_w (\theta_w - \theta_R) \Big|_{r=0} \quad \dots \dots \dots (4)$$

## 2.2 ロール内部の温度分布

ロール内の長時間温度分布は、円柱座標系で行ない、次の差分熱伝導方程式から求めた。ロールの区間分割は図2の如くした。計算に用いた諸元を表1に示した。

$$\frac{\Delta \theta}{\Delta t} = + \alpha R \left( \frac{r_i^2 - r_{i-1}^2}{r_i^2 - r_{i-1}^2} \right) \cdot \left\{ \frac{r_i}{r_i^2 - r_{i-1}^2} \cdot (\theta_{i+1} - \theta_i) + \frac{r_{i-1}}{r_i^2 - r_{i-1}^2} \cdot (\theta_{i-1} - \theta_i) \right\} \quad \dots \dots \dots (5)$$

表1 計算に用いた諸元 (温度分布)

$\theta_R(r, t)$ = ロール内温度分布(位置r, 時刻tにおける)	$\alpha_R$ = ロール温度伝導率
$h_w$ = ロール・インゴット非接触時熱伝達率	$\alpha_I$ = インゴット温度伝導率
$\theta_w$ = 外気温度あるいは水温	$k_R$ = ロール熱伝導率
$t_n$ = 第n番目のロール・インゴット接触時刻	$k_I$ = インゴット熱伝導率
$r_0$ = 所定の値(図1 Cの場合 $r_0 = 4\text{ cm}$ )	$\theta_i$ = インゴット内温度分布

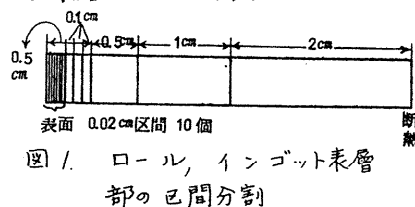
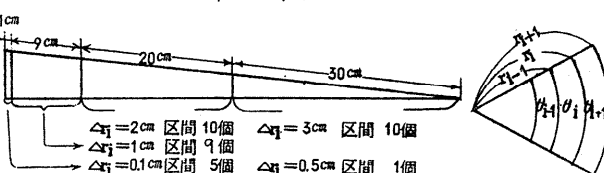


図1 ロール、インゴット表層部の区間分割



## 2.3 ロール表層部の短周期熱応力

応力増分-ひずみ増分関係式

$$\sigma = d\varepsilon_z^P + (1 - \nu/E) d\varepsilon_z + d\sigma_T \quad \dots \dots \dots (6)$$

塑性ひずみ方程式  $(\sigma_z - \sigma_r) > \sigma_y$  のとき

$$d\varepsilon_z^P = [d(\sigma_z - \sigma_r)/2H' | \sigma_z - \sigma_r |] \cdot (\sigma_z - \sigma_r) \quad \dots \dots \dots$$

$$d\varepsilon_\theta^P = d\varepsilon_z^P \quad d\varepsilon_r^P = -2d\varepsilon_z^P \quad \dots \dots \dots (7)$$

ロールインゴット接触非接触時における  $\sigma_y$  などから応力および塑性ひずみが求まる。

## 2.4 ロール内熱応力 弾性域における熱応力は(8)式から求めた 表2. 热応力計算に用いた諸元

$$\sigma_r(r) = E\alpha_{-y} \left\{ \frac{1}{R^2} \int_0^R T(r) r dr - \frac{1}{r^2} \int_0^r T(r) r dr \right\}$$

$$\sigma_\theta(r) = E\alpha_{-y} \left\{ \frac{1}{R^2} \int_0^R T(r) r dr + \frac{1}{r^2} \int_0^r T(r) r dr - T(r) \right\}$$

$$\sigma_z(r) = E\alpha_{-y} \left\{ \frac{2}{R^2} \int_0^R T(r) r dr - T(r) \right\} \quad \dots \dots \dots (8)$$

塑性域における熱応力を、集中定数系で近似して解析した。熱応力計算に用いた諸元を表2に示す

$\epsilon_k$ : K方向の全直歪	$E$ : マング率
$\epsilon_k^P$ : " 塑性歪	$\nu$ : ポアソン比
$\sigma_k$ : " 直応力	$\alpha$ : 線膨脹率
$P$ : 圧延圧力	$\sigma_y$ : 降伏点
$T$ : 温度分布	